

ФЕДЕРАЛЬНОЕ ГОСУДАРСТВЕННОЕ БЮДЖЕТНОЕ ОБРАЗОВАТЕЛЬНОЕ
УЧРЕЖДЕНИЕ ВЫСШЕГО ОБРАЗОВАНИЯ
«МОСКОВСКИЙ ГОСУДАРСТВЕННЫЙ УНИВЕРСИТЕТ
имени М.В.ЛОМОНОСОВА»

МЕХАНИКО-МАТЕМАТИЧЕСКИЙ ФАКУЛЬТЕТ
КАФЕДРА ВЫСШЕЙ ГЕОМЕТРИИ И ТОПОЛОГИИ

ВЫПУСКНАЯ КВАЛИФИКАЦИОННАЯ РАБОТА
(ДИПЛОМНАЯ РАБОТА)
специалиста

**Компактификации пространств модулей рациональных кривых
и торические многообразия**

Выполнил студент
603 группы
Витковский Андрей Владиславович

подпись студента

Научный руководитель:
профессор, д.ф.-м.н.
Панов Тарас Евгеньевич

подпись научного руководителя

Москва

2025 г.

1 Введение

Пространства модулей $\overline{M_{0,n}}$, в отличие от пространств модулей кривых положительного рода, являются гладким многообразием.

Реализовав всякую рациональную кривую с n отмеченными точками как кривую в проективном пространстве размерности $n - 2$, проходящую через фиксированный набор из n точек в общем положении, компактифицировать пространство модулей можно просто добавлением точек, соответствующих вырождениям кривых Веронезе.

При подобной компактификации кольцо когомологий по Килю $H^*(\overline{M_{0,n}})$ порождается образующими $[D]$, которые соответствуют некоторому неупорядоченному разбиению множества индексов отмеченных точек, по модулю аддитивных соотношений R_{ijkl} и мультипликативных соотношений $[D][D'] = 0$ для любых несовместимых разбиений D и D' .

Построенное таким образом кольцо когомологий очень похоже на кольцо когомологий торического многообразия.

$\overline{M_{0,5}}$ получается из $\overline{M_{0,4}}$ раздутием в трех точках $\mathbb{CP}^1 \times \mathbb{CP}^1$.

Таким образом, геометрически $\overline{M_{0,5}}$ гомеоморфно связной сумме $\mathbb{CP}^2 \# \overline{\mathbb{CP}^2} \# \overline{\mathbb{CP}^2} \# \overline{\mathbb{CP}^2} \# \overline{\mathbb{CP}^2}$.

Раздутию в трех точках $\mathbb{CP}^1 \times \mathbb{CP}^1$ соответствует семиугольник, по нормальному вееру которого можно также посчитать кольцо когомологий.

Между кольцом когомологий по Килю, кольцом когомологий по вееру семиугольника и кольцом когомологий связной суммы есть явный изоморфизм.

Последующие пространства модулей для $n > 5$ получаются последовательными раздутиями предыдущего вдоль подмногообразий коразмерности 2.

Возникает вопрос, будут ли $\overline{M_{0,n}}$ торическими и дальше.

На примере $n = 6$ выдвигается гипотеза, что уже на $\overline{M_{0,6}}$ хорошего действия тора не может быть.

2 Аксиоматическое определение пространства модулей

Определение 0.1. Грубым пространством модулей кривых рода g будем называть тройку $(\mathfrak{C}_{g,0}, M_{g,0}, \pi : \mathfrak{C}_{g,0} \rightarrow M_{g,0})$, которая состоит из двух комплексных орбифолдов и отображения из первого во второй, такая что: (1) каждый слой $\pi^{-1}(b), b \in M_{g,0}$ - результат факторизации гладкой комплексной кривой рода g по группе ее автоморфизмов, (2) каждая кривая рода g встречается в качестве слоя этого отображения в точности один раз, (3) для каждого голоморфного семейства $p : E \rightarrow B$, слои которого - результаты факторизации гладких комплексных кривых рода g по группам их автоморфизмов, существуют

голоморфные отображения $E \rightarrow \mathfrak{C}_{g,0}$ и $B \rightarrow M_{g,0}$, где первое отображение - послойный изоморфизм, образующие с проекциями π и r коммутативный квадрат.

Если же у нас есть отмеченные точки, то в тройку следует добавить набор из n сечений $\sigma_i : M_{g,n} \rightarrow \mathfrak{C}_{g,n}$, отвечающих отмеченным точкам, а точнее, отмеченная точка x_i в слое $\pi^{-1}(b)$ - это значение $\sigma_i(b)$ сечения σ_i в точке b .

Таким образом, мы добились того, что точки пространства модулей взаимно однозначно соответствуют классам биголоморфной эквивалентности комплексных кривых, а на всем пространстве получили топологию и комплексную структуру.

3 Индуктивное построение пространства модулей

Фиксируем на \mathbb{CP}^1 координату и берем $M_{0,n} \times \mathbb{CP}^1$. В каждом одномерном слое проекции на первый сомножитель выкалываем x_1, \dots, x_n , при этом допустим, что координаты первых трех точек равны соответственно $\infty, 0, 1$. Тогда координаты остальных точек однозначно определяются классом проективной эквивалентности всех точек.

n отмеченных точек задают n сечений прямого произведения

$$\sigma_i : M_{0,n} \rightarrow M_{0,n} \times \mathbb{CP}^1.$$

Дополнения к сечениям естественно изоморфно пространству $M_{0,n+1}$.

4 Компактификация Делинья-Мамфорда пространства модулей рациональных кривых

Зададим кривую как образ вложения, а именно отобразим проективную прямую в проективное пространство \mathbb{CP}^{n-2} :

$$(t_0 : t_1) \mapsto (t_0^{n-2} : t_0^{n-2}t_1 : t_0^{n-3}t_1^2 : \dots : t_1^{n-2})$$

Степень кривой равна $n-2$, а отображение называется отображением Веронезе. Образы любых n различных точек на проективной прямой находятся в общем положении. Кривыми Веронезе или рациональными нормальными кривыми называем результаты проективных преобразований образа отображения.

Теорема 0.2. *Семейство кривых Веронезе, проходящих через точки x_1, \dots, x_n в общем положении в \mathbb{CP}^{n-2} , изоморфно пространству модулей $M_{0,n}$.*

Доказательство можно найти в [2, стр.207]

Попробуем компактифицировать полученное таким образом пространство.

Пример 0.3. ($\overline{M_{0,4}}$) Пусть $n = 4$. Возьмем все плоские коники (включая особые), проходящие через эти четыре точки. Особых коник три, все они представляют собой пару прямых, попарно соединяющих точки. Мы получили замыкание $M_{0,4}$ в виде проективной прямой в пространстве однородных форм степени 2 на плоскости. Прямая состоит из форм, зануляющихся на каждой из x_1, x_2, x_3, x_4 . Это и назовем $\overline{M_{0,4}}$.

Назовем неприводимыми компонентами особой кривой конечный набор рациональных кривых, некоторые из которых попарно пересекаются.

Особой кривой можно сопоставить модулярный граф, вершины которого соответствуют неприводимым компонентам, а ребра отвечают их пересечению.

Если граф оказался деревом, то набор кривых назовем рациональной нодальной кривой.

Определение 0.4. Рациональная нодальная кривая с n отмеченными точками называется модулярно стабильной, если (1) ни одна из отмеченных точек не лежит в пересечении неприводимых компонент кривых и (2) группа автоморфизмов кривой конечна.

Условие (2) эквивалентно тому, что на каждой неприводимой компоненте есть хотя бы три специальные точки, будь то отмеченные или точки пересечения.

Пример 0.5. ($\overline{M_{0,5}}$) Рассмотрим компактификацию $M_{0,5}$. Через первые две точки x_1, x_2 проведем прямую. Она пересечет плоскость, проходящую через x_3, x_4, x_5 в точке, отличной от исходных отмеченных. Для построения особой кривой осталось провести конику через точку пересечения и x_3, x_4, x_5 .

Теорема 0.6. Каждая стабильная рациональная кривая с n отмеченными точками единственным образом реализуется как модулярно стабильная кривая, проходящая через набор точек x_1, \dots, x_n в общем положении в \mathbb{CP}^{n-2} .

Доказательство можно найти в [2, стр.209-210]

Описанная компактификация называется компактификацией Делиня-Мамфорда.

5 Про многочлены Пуанкаре

Многочлен Пуанкаре компактного топологического пространства –

$$P_X(t) = b_d t^d + \dots + b_0,$$

где b_i - i -е число Бетти пространства X , $d = \dim X$.

$$P_{\mathbb{CP}^1}(t) = t^2 + 1$$

Можно определить **мотивный многочлен** Пуанкаре разности двух компактных алгебраических многообразий:

$$P_X(t) = P_{X_1}(t) - P_{X_2}(t), \quad X = X_1 \setminus X_2$$

Данное определение корректно - любые два представления пространства X в виде разности компактных алгебраических многообразий приводят к одному и тому же мотивному многочлену Пуанкаре.

Многочлен Пуанкаре естественно ведет себя относительно прямого произведения:

$$P_{\mathbb{CP}^1 \times \mathbb{CP}^1}(t) = (1 + t^2)^2$$

При индуктивном построении пространства модулей мы получали отображение забывания $\pi : M_{0,n+1} \rightarrow M_{0,n}$, расслаивающее пространство модулей над предыдущим. Каждый слой отображения - рациональная кривая с n проколами, поэтому мы можем посчитать

$$P_{M_{0,n}}(t) = (t^2 - 2)(t^2 - 3) \dots (t^2 - n + 3)$$

как произведение многочленов Пуанкаре слоя и базы.

Пример 0.7. Посчитаем многочлен Пуанкаре для $\overline{M_{0,5}}$:

$\overline{M_{0,5}}$ является непересекающимся объединением пространства модулей гладких кривых $M_{0,5}$, десяти пространств модулей стабильных кривых с одной особой точкой $M_{0,3} \times M_{0,4}$ и пятнадцати пространств модулей стабильных кривых с двумя особыми точками $M_{0,3} \times M_{0,3}$. Многочлен Пуанкаре же выглядит как

$$P_{\overline{M_{0,5}}} = P_{M_{0,5}} + 10P_{M_{0,3}}P_{M_{0,4}} + 15P_{M_{0,3}}^3 = (t^2 - 2)(t^2 - 3) + 10(t^2 - 2) + 15 = t^4 + 5t^2 + 1.$$

Пример 0.8. Аналогично можно посчитать многочлен Пуанкаре для $\overline{M_{0,6}}$:

$\overline{M_{0,6}}$ является непересекающимся объединением пространства модулей гладких кривых $M_{0,6}$, пятнадцати пространств модулей стабильных кривых с одной особой точкой вида $M_{0,3} \times M_{0,5}$, десяти пространств модулей стабильных кривых с одной особой точкой вида $M_{0,4} \times M_{0,4}$, ста пяти пространств модулей стабильных кривых с двумя особыми точками вида $M_{0,3} \times M_{0,3} \times M_{0,4}$ и ста пяти пространств модулей стабильных кривых с тремя особыми точками $M_{0,3} \times M_{0,3} \times M_{0,3} \times M_{0,3}$.

$$P_{\overline{M_{0,6}}} = P_{M_{0,6}} + 15P_{M_{0,3}}P_{M_{0,5}} + 10P_{M_{0,4}}^2 + 105P_{M_{0,3}}^2P_{M_{0,4}} + 105P_{M_{0,3}}^4 = t^6 + 16t^4 + 16t^2 + 1.$$

6 Явная конструкция пространства $\overline{M_{0,5}}$

Возьмем $\overline{M_{0,4}} \times \mathbb{CP}^1$. Зафиксируем на прямой координату, в которой координаты первых трех отмеченных точек равны $\infty, 0, 1$. Получим три попарно непересекающихся структурных сечения $\sigma_i : \overline{M_{0,4}} \rightarrow \overline{M_{0,4}} \times \mathbb{CP}^1, i = 1, 2, 3$. Тогда четвертое сечение, отвечающее x_4 , пересекает каждое из первых трех трансверсально в точке. Если теперь раздуть на поверхности $\overline{M_{0,4}} \times \mathbb{CP}^1$ каждую из трех точек пересечения, мы получим в точности $\overline{M_{0,5}}$: после вклейки трех двумерных циклов многочлен Пуанкаре из $1 + 2t^2 + t^4$ превращается в $1 + 5t^2 + t^4$, что согласуется с многочленом Пуанкаре пространства модулей $\overline{M_{0,5}}$, а в геометрическом представлении $\overline{M_{0,5}}$ оказывается как раз разбито на ранее установленные части, т.е. пространство $M_{0,5}$ как дополнение к четырем сечениям; десять экземпляров пространства $M_{0,3} \times M_{0,4}$ как четыре сечения и три проколотых особых слоя проекции раздуть поверхности на множитель $\overline{M_{0,4}}$, каждый из которых есть объединение двух проколотых прямых; и пятнадцать точек попарного пересечения замыканий этих десяти проколотых прямых.

7 Кольцо когомологий по Килю пространства $\overline{M_{0,n}}$

Пусть $D = A \sqcup B$ - неупорядоченное разбиение множества индексов отмеченных точек $1, 2, \dots, n$ на два непересекающихся подмножества, причем в каждом есть хотя бы два элемента. Стабильные рациональные кривые, состоящие из двух неприводимых компонент, расположение точек на которых соответствует разбиению D , образуют подмногообразие комплексной коразмерности 1 в $\overline{M_{0,n}}$. Его замыкание - гладкое компактное комплексное подмногообразие коразмерности 1, изоморфное прямому произведению многообразий $\overline{M_{0,|A|+1}}$ и $\overline{M_{0,|B|+1}}$. Тогда $[D] \in H^2(\overline{M_{0,n}})$.

Теорема 0.9. Классы $[D]$ порождают кольцо когомологий $H^*(\overline{M_{0,n}})$.

Однако на $[D]$ есть линейные соотношения R_{ijkl} . Чтобы их установить, рассмотрим забывающее отображение $\overline{M_{0,n}} \rightarrow \overline{M_{0,4}}$, которое забывает все отмеченные точки, кроме x_i, x_j, x_k, x_l , а ставшие ввиду забывания нестабильными компоненты кривой стягивает в точку. Тогда соотношения имеют вид

$$R_{ijkl} : [ij\mathfrak{D}kl] = [ik\mathfrak{D}jl] = [il\mathfrak{D}jk],$$

где $[ij\mathfrak{D}kl] \in H^2(\overline{M_{0,n}})$ - сумма тех образующих D , в которых индексы i, j и k, l лежат в разных частях разбиения.

Также будем говорить, что

$$[D][D'] = 0,$$

если D и D' - два несовместимых разбиения, то есть не допускающих разбиения на три попарно не пересекающихся подмножества A, B, C , таких что

$$D = (A \sqcup B) \sqcup C, \quad D' = A \sqcup (B \sqcup C),$$

Теорема 0.10. Кольцо когомологий $H^*(\overline{M_{0,n}})$ порождено образующими $[D]$ по модулю аддитивных соотношений R_{ijkl} и мультипликативных соотношений $[D][D'] = 0$ для любых несовместимых разбиений D и D' .

Доказательство этого факта сводится к построению отображения $\pi_1 : \overline{M_{0,n+1}} \rightarrow \overline{M_{0,n}} \times \overline{M_{0,4}}$ как композиции последовательных раздутий вдоль объединения всех подмногообразий, отвечающих упорядоченным разбиениям $D = A \sqcup B$, часть B которых состоит из последовательно $k = 2, 3, \dots, n-2$ элементов.

8 Кольцо когомологий $\overline{M_{0,5}}$

В качестве примера посчитаем кольцо когомологий пространства $\overline{M_{0,5}}$.

Обозначим десять образующих

$[12|345], [13|245], [14|235], [15|234], [23|145], [24|135], [25|134], [34|125], [35|124], [45|123]$

через

$$a, b, c, d, e, f, g, h, i, k$$

соответственно.

Тогда линейные соотношения будут иметь вид

$$\begin{aligned} a + h &= b + f = c + e \\ a + i &= b + g = d + e \\ a + k &= c + g = d + f \\ b + k &= c + i = d + h \\ e + k &= f + i = g + h \end{aligned}$$

что после приведения дает вид

$$\begin{aligned} a &= d + g + h - i - k \\ b &= d + h - k \\ c &= d + h - i \\ e &= g + h - k \\ f &= g + h - i \end{aligned}$$

На будущее запишем соответствующую приведенную матрицу:

$$\begin{pmatrix} 1 & 0 & 0 & 0 & 0 & -1 & -1 & -1 & 1 & 1 \\ 0 & 1 & 0 & 0 & 0 & -1 & 0 & -1 & 0 & 1 \\ 0 & 0 & 1 & 0 & 0 & -1 & 0 & -1 & 1 & 0 \\ 0 & 0 & 0 & 1 & 0 & 0 & -1 & -1 & 0 & 1 \\ 0 & 0 & 0 & 0 & 1 & 0 & -1 & -1 & 1 & 0 \end{pmatrix}$$

где столбцы соответствуют порождающим $a, b, c, e, f, d, g, h, i, k$.

Мультипликативные соотношения можно представить через граф Петерсена (см. Рис. 1).

Тогда кольцо когомологий пространства $\overline{M_{0,5}}$ имеет вид:

$$\begin{aligned} H^*(\overline{M_{0,5}}) &= \mathbb{Z}[a, b, c, d, e, f, g, h, i, k] / \\ &(a - d - g - h + i + k, b - d - h + k, c - d - h + i, e - d - h + i, f - g - h + i, \\ &ab, ac, ad, ae, af, ag, bc, bd, be, bh, bi, cd, cf, ch, ck, dg, di, dk, ef, eg, eh, ei, fg, fh, fk, gi, gk, hi, hk, ik) \end{aligned}$$

Если подставить линейные соотношения в мультипликативные, получим следующий вид:

$$\begin{aligned} H^*(\overline{M_{0,5}}) &= \mathbb{Z}[d, g, i, k, h] / \\ &(dg, di, dk, gi, gk, hi, ik, k^2 + gh, i^2 + gh, h^2 + gh, d^2 + dh, g^2 + gh, gh - dh) \end{aligned}$$

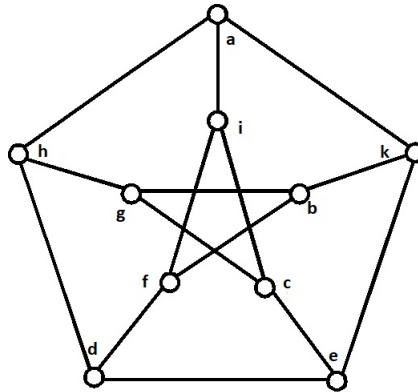


Рис. 1. Граф Петерсена; ребрами соединены совместимые разбиения

8.1 Связь с торическим многообразием

Заметим, что кольцо когомологий полученного $\overline{M_{0,5}}$ очень напоминает кольцо когомологий торического многообразия, построенного по многограннику.

$M_{0,3}$ соответствует точка, $M_{0,4}$ - отрезок.

Посмотрим на многогранник, соответствующий $\overline{M_{0,5}}$.

По многочлену Пуанкаре восстановим f -вектор $(1, 7, 7)$, то есть мы имеем дело с двумерным семиугольником (см. Рис. 2), что неудивительно, так как $\overline{M_{0,5}}$ мы получали раздутием $\mathbb{CP}^1 \times \mathbb{CP}^1$ в трех точках, что эквивалентно тому, что мы срезали у квадрата три угла.

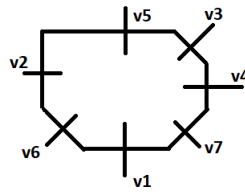


Рис. 2. Семиугольник и его нормальный веер

По нормальному вееру полученного семиугольника получим кольцо когомологий:

$$\begin{aligned}
 H^*(P) = & \mathbb{Z}[v_1, v_2, v_3, v_4, v_5, v_6, v_7] / \\
 & (v_1 - v_2 + v_4 - v_5 + 2v_7, v_3 - v_2 + v_4 - v_6 + v_7, \\
 & v_1v_2, v_1v_5, v_1v_3, v_1v_4, v_6v_5, v_6v_3, v_6v_4, v_6v_7, v_2v_3, v_2v_4, v_2v_7, v_5v_4, v_5v_7, v_3v_7)
 \end{aligned}$$

Если подставить линейные соотношения в мультипликативные соотношения Стенли-

Райснера и сделать замену $\gamma = v_4 + v_7$, получим следующий вид:

$$\begin{aligned} H^*(P) = \mathbb{Z}[v_2, \gamma, v_5, v_6, v_7] / \\ (v_2^2 + v_2 v_5, \gamma^2 + v_2 v_5, v_5^2 + v_2 v_5, v_6^2 + v_2 v_6, \\ v_5 v_6, v_6 \gamma, v_6 v_7, v_2 \gamma, v_2 v_4, v_5 \gamma, v_5 v_7, v_7 \gamma, v_2 v_5 - v_2 v_6) \end{aligned}$$

Замечание 0.11. Можно заметить, что полученное кольцо когомологий имеет абсолютно тот же вид, что и в описании кольца когомологий $\overline{M_{0,5}}$ по Килю:

$$\begin{aligned} g &\leftrightarrow v_5 \\ h &\leftrightarrow v_2 \\ d &\leftrightarrow v_6 \\ i &\leftrightarrow \gamma \\ k &\leftrightarrow v_4 \end{aligned}$$

При этом $\overline{M_{0,5}}$, как раздутие $\mathbb{CP}^1 \times \mathbb{CP}^1$ в трех точках, гомеоморфно торическому многообразию, многогранником которого является вышеуказанный семиугольник.

9 Кольцо когомологий $\overline{M_{0,6}}$

В случае $\overline{M_{0,6}}$ число образующих возрастает уже до 25, из них десять имеют вид

$$[ijk|lmn]$$

и пятнадцать имеют вид

$$[ij|klmn]$$

9.1 Линейные соотношения $\overline{M_{0,6}}$

Количество линейных соотношений также возрастает,

$$[ij\mathfrak{D}kl] = [ik\mathfrak{D}jl] = [il\mathfrak{D}jk]$$

теперь двойных равенств - 15, то есть суммарно 30 соотношений.

Приводя соответствующую матрицу к ступенчатому виду и домножая некоторые столбцы на 2 для удобства вычислений, имеем:

$$\left(\begin{array}{cccccccccccccccccccccccc} 1 & 0 & 0 & 0 & 0 & 0 & 0 & 0 & 0 & 0 & 1 & 1 & 0 & -1 & -1 & 0 & -1 & 0 & 0 & -1 & 0 & 0 & 1 & 1 & 0 \\ 0 & 1 & 0 & 0 & 0 & 0 & 0 & 0 & 0 & 1 & 0 & 1 & -1 & -1 & -1 & 0 & 0 & 0 & -1 & 1 & 1 & 0 & 0 & 0 \\ 0 & 0 & 1 & 0 & 0 & 0 & 0 & 0 & 0 & 1 & 0 & 0 & 0 & -1 & -1 & -1 & 1 & 0 & 0 & 0 & 1 & 0 & 1 & -1 \\ 0 & 0 & 0 & 1 & 0 & 0 & 0 & 0 & 0 & 1 & 0 & 0 & -1 & 0 & -1 & -1 & 0 & 1 & 0 & 1 & 0 & 1 & 0 & -1 \\ 0 & 0 & 0 & 0 & 1 & 0 & 0 & 0 & 0 & 0 & 1 & 1 & -1 & -1 & -1 & -1 & 1 & 1 & 0 & 0 & 0 & 0 & 0 & 0 \\ 0 & 0 & 0 & 0 & 0 & 1 & 0 & 0 & 0 & 0 & 0 & 0 & 1 & 0 & 0 & -1 & -1 & 0 & 0 & 1 & -1 & 1 & 0 & 0 & 1 \\ 0 & 0 & 0 & 0 & 0 & 0 & 1 & 0 & 0 & 0 & 0 & 0 & 1 & 0 & 0 & -1 & 0 & 0 & 1 & -1 & 1 & 0 & 0 & 1 & -1 \\ 0 & 0 & 0 & 0 & 0 & 0 & 0 & 1 & 0 & 0 & 0 & 0 & 1 & 0 & -1 & 0 & -1 & 0 & 1 & 0 & -1 & 0 & 1 & 1 & 0 \\ 0 & 0 & 0 & 0 & 0 & 0 & 0 & 0 & 1 & 0 & 0 & 0 & 0 & 1 & 0 & -1 & 0 & 0 & -1 & 0 & 1 & -1 & 0 & 1 & 1 & 0 \\ 0 & 0 & 0 & 0 & 0 & 0 & 0 & 0 & 0 & 1 & 0 & 0 & 0 & 1 & -1 & 0 & 0 & -1 & 1 & 0 & -1 & 1 & 0 & 0 & 1 & -1 \\ 0 & 0 & 0 & 0 & 0 & 0 & 0 & 0 & 0 & 0 & 1 & 0 & 0 & 0 & 0 & 0 & 0 & 0 & 0 & 0 & 0 & 0 & 0 & 0 & 0 & 0 \end{array} \right)$$

Обозначим столбцы, соответствующие образующим кольца, последовательно буквами (a, b, c, d, ..., x, y).

Тогда видно, что после факторизации по кольцу линейных соотношений, $j = 0$.

Перепишем в систему:

$$\begin{aligned}
 a &= -k - l + n + o + q + t - w - x \\
 b &= -k - +n + o + p + t - u - v \\
 c &= -k + o + p + q - r - v - x + y \\
 d &= -k + n + p + q - s - u - w + y \\
 e &= -l - m + n + o + p + q - r - s \\
 f &= -l + o + p - s + t - u - x + y \\
 g &= -l + n + p - r + t - v - w + y \\
 h &= -m + o + q - s + t - v - w + y \\
 i &= -m + n + q - r + t - u - x + y
 \end{aligned}$$

9.2 Мультиплекативные соотношения $\overline{M_{0,6}}$

Описать мультиплекативные соотношения можно следующим образом:

- во-первых, все разбиения вида $[ijk|lmn]$ попарно не совместимы;
- $[ijk|lmn]$ и $[op|qrst]$ не совместимы, если o и p стоят по разные стороны в $[ijk|lmn]$;
- $[ij|klmn]$ и $[op|qrst]$ не совместимы, если o и p стоят по разные стороны в $[ij|klmn]$.

Выпишем полученные мультиплекативные соотношения:

- $ab, ac, ad, ae, af, ag, ah, ai, aj, bc, bd, be, bf, bg, bh, bi, bj, cd, ce, cf, cg, ch, ci, cj, de, df, dg, dh, di, dj, ef, eg, eh, ei, ej, fg, fh, fi, fj, gh, gi, gj, hi, hj, ij$
- $am, an, ao, aq, ar, as, at, au, av, bl, bn, bo, bp, br, bs, bt, bw, bx, cl, cm, co, cp, cq, cs, cu, cw, cy, dl, dm, dn, dp, dq, dr, dv, dx, dy, ek, en, eo, ep, eq, eu, ev, ew, ex, fk, fm, fo, fp, fr, ft, fv, fw, fy, gk, gm, gn, gp, gs, gt, gu, gx, gy, hk, hl, ho, hq, hr, ht, hu, hx, hy, ik, il, in, iq, is, it, iv, iw, iy, jk, jl, jm, jr, js, ju, jv, jw, jx$
- $kl, km, kn, ko, kp, kq, kr, ks, lm, ln, lo, lp, lt, lu, lv, mn, mo, mq, mt, mw, mx, no, nr, nu, nw, ny, os, ov, ox, oy, pq, pr, ps, pt, pu, pv, qr, qs, qt, qw, qx, rs, ru, rw, ry, sv, sx, sy, tu, tv, tw, tx, uv, uw, uy, vx, vy, wx, wy, xy$

9.3 Связь с торическим многообразием и соотношения третьего типа

По аналогии с $\overline{M_{0,5}}$, из многочлена Пуанкаре

$$t^6 + 16t^4 + 16t^2 + 1$$

вычислим f -вектор предполагаемого простого многогранника, а именно

$$f = (1, 19, 51, 34)$$

Итак, трехмерный многогранник должен иметь 19 двумерных граней и 34 вершины.

Для этого можно взять семиугольную призму, соответствующую $\overline{M_{0,5}} \times \mathbb{CP}^1$, и срезать у нее десять ребер, что как раз будет соответствовать раздутию вдоль подмногообразий коразмерности 2.

Однако непонятно, какие ребра следует срезать.

Попробуем придумать нормальный веер, кольцо Стенли-Райснера которого соответствовало хотя бы мультипликативным соотношениям третьего типа в кольце когомологий по Килю.

В веере зафиксируем некоторый вектор \tilde{j} . Он соответствует какой-то грани в предполагаемом многограннике. Относительно этой грани диаграмма Шлегеля имеет размерность 2, а псевдограф смежности оставшихся вершин должен быть планарным.

Однако, если мы действительно построим псевдограф смежности для мультипликативных соотношений третьего типа, то есть в предполагаемом многограннике соединим ребрами те грани, которые должны пересекаться, то обнаружим, что, например, вершины k, o, s, u, w, t образуют $K_{3,3}$, то есть псевдограф не является планарным (см. Рис 3).

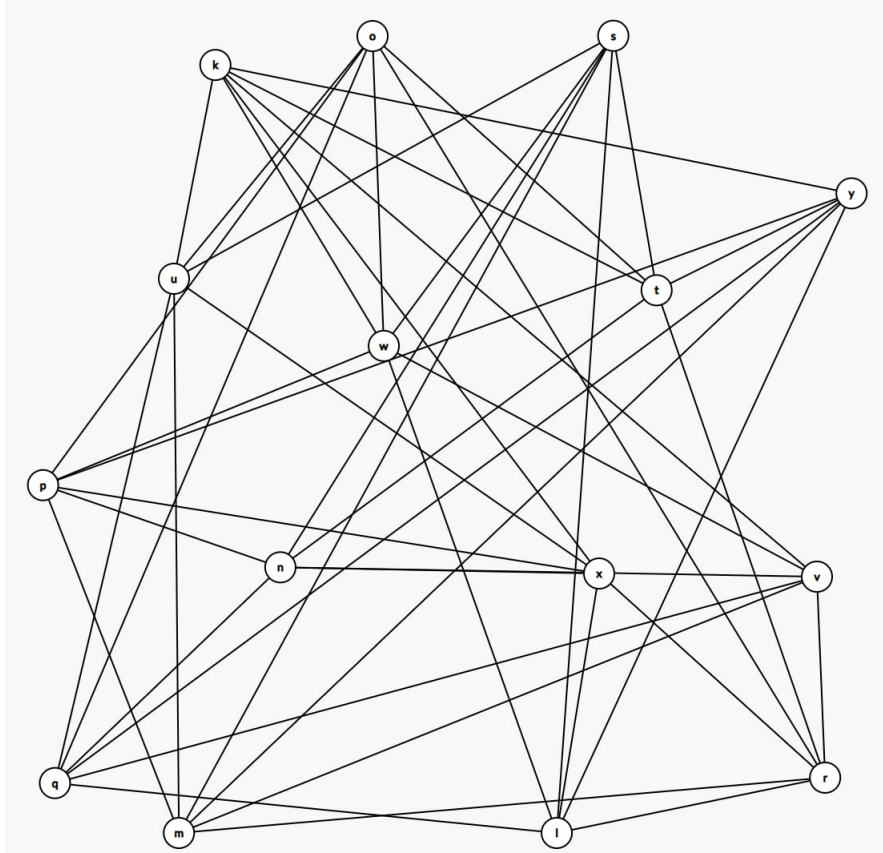


Рис. 3. Граф смежности мультипликативных соотношений третьего типа; ребрами соединены вершины, произведение которых предварительно не дает ноль в кольце когомологий по Килю

Данное рассуждение можно, без ограничения общности, провести для любой грани, не обязательно той, которой мы сопоставили \tilde{j} .

Таким образом, не существует такой конфигурации, чтобы можно было установить взаимно-однозначное соответствие между образующими по Килю и образующими веера предполагаемого многогранника.

Тогда попробуем построить изоморфизм между кольцом когомологий по Килю и кольцо когомологий по вееру какой-либо, наиболее приближенной к идеальной, конфигурацией.

В качестве подобной возьмем следующую:

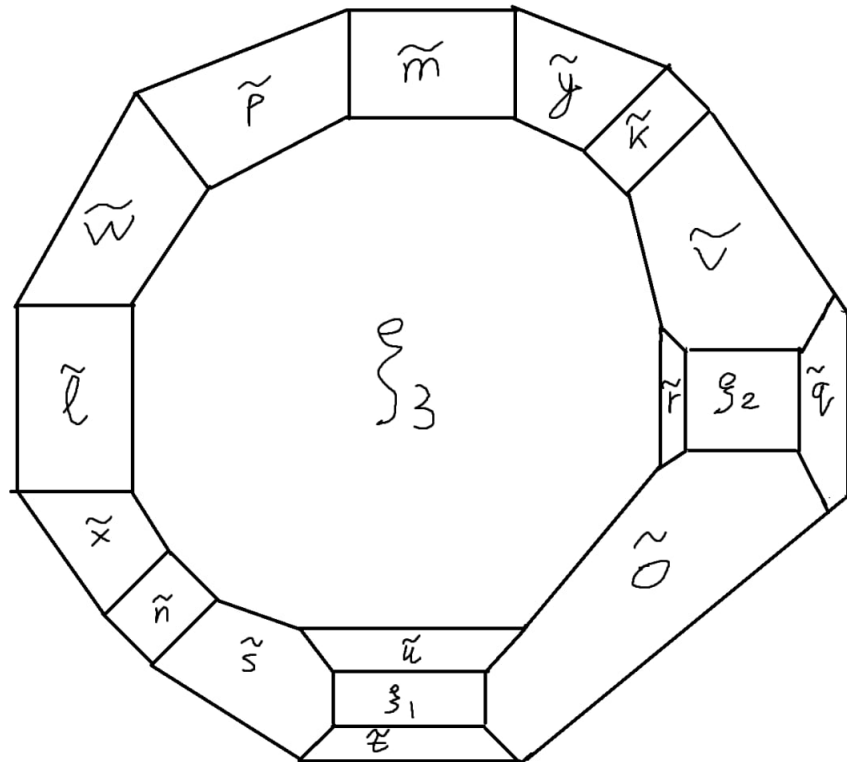


Рис. 4. Диаграмма Шлегеля некоторой конфигурации со стороны грани, соответствующей \tilde{j}

Характеристическая матрица имеет вид

$$\begin{pmatrix} 1 & 0 & 0 & 0 & -1 & 0 & -1 & 1 & 1 & -2 & 0 & 0 & 2 & 1 & 1 & -1 & -1 & 1 & -2 \\ 0 & 1 & 0 & 0 & 1 & -1 & 0 & -1 & 1 & -1 & 1 & 1 & -1 & 0 & 0 & 2 & -2 & -2 & 1 \\ 0 & 0 & 1 & -1 & 0 & 0 & 0 & 0 & 0 & -1 & 1 & 0 & -1 & 1 & 0 & 0 & 0 & 0 & 0 \end{pmatrix}$$

$$\begin{aligned}\xi_1 &= -\tilde{k} + \tilde{m} - \tilde{n} - \tilde{o} + 2\tilde{p} - 2\tilde{s} - \tilde{t} - \tilde{u} + \tilde{v} + \tilde{w} - \tilde{x} + 2\tilde{y} \\ \xi_2 &= -\tilde{k} + \tilde{l} + \tilde{n} - \tilde{o} + \tilde{p} - \tilde{q} - \tilde{r} + \tilde{s} - 2\tilde{v} + 2\tilde{w} + 2\tilde{x} - \tilde{y} \\ \xi_3 &= \tilde{j} + \tilde{q} - \tilde{r} + \tilde{t} - \tilde{u}\end{aligned}$$

Идеал Стенли-Райснера порожден следующими соотношениями

- $\xi_1\xi_2, \xi_1\xi_3, \xi_1\tilde{j}, \xi_1\tilde{r}, \xi_1\tilde{q}, \xi_1\tilde{v}, \xi_1\tilde{k}, \xi_1\tilde{y}, \xi_1\tilde{m}, \xi_1\tilde{p}, \xi_1\tilde{w}, \xi_1\tilde{l}, \xi_1\tilde{x}, \xi_1\tilde{n}$
- $\xi_2\xi_3, \xi_2k, \xi_2\tilde{y}, \xi_2\tilde{m}, \xi_2\tilde{p}, \xi_2\tilde{w}, \xi_2\tilde{l}, \xi_2\tilde{x}, \xi_2\tilde{n}, \xi_2\tilde{s}, \xi_2\tilde{u}, \xi_2\tilde{t}$
- $\xi_3\tilde{j}, \xi_3\tilde{t}, \xi_3\tilde{q}$
- $\tilde{u}\tilde{j}, \tilde{u}\tilde{t}, \tilde{u}\tilde{r}, \tilde{u}\tilde{q}, \tilde{u}\tilde{v}, \tilde{u}\tilde{k}, \tilde{u}\tilde{y}, \tilde{u}\tilde{m}, \tilde{u}\tilde{p}, \tilde{u}\tilde{w}, \tilde{u}\tilde{l}, \tilde{u}\tilde{x}, \tilde{u}\tilde{n}$
- $\tilde{t}\tilde{r}, \tilde{t}\tilde{q}, \tilde{t}\tilde{v}, \tilde{t}\tilde{k}, \tilde{t}\tilde{y}, \tilde{t}\tilde{m}, \tilde{t}\tilde{p}, \tilde{t}\tilde{w}, \tilde{t}\tilde{l}, \tilde{t}\tilde{x}, \tilde{t}\tilde{n}$
- $\tilde{o}\tilde{v}, \tilde{o}\tilde{k}, \tilde{o}\tilde{y}, \tilde{o}\tilde{m}, \tilde{o}\tilde{p}, \tilde{o}\tilde{w}, \tilde{o}\tilde{l}, \tilde{o}\tilde{x}, \tilde{o}\tilde{n}, \tilde{o}\tilde{s}$
- $\tilde{r}\tilde{j}, \tilde{r}\tilde{q}, \tilde{r}\tilde{k}, \tilde{r}\tilde{y}, \tilde{r}\tilde{m}, \tilde{r}\tilde{p}, \tilde{r}\tilde{w}, \tilde{r}\tilde{l}, \tilde{r}\tilde{x}, \tilde{r}\tilde{n}, \tilde{r}\tilde{s}$
- $\tilde{q}\tilde{k}, \tilde{q}\tilde{y}, \tilde{q}\tilde{m}, \tilde{q}\tilde{p}, \tilde{q}\tilde{w}, \tilde{q}\tilde{l}, \tilde{q}\tilde{x}, \tilde{q}\tilde{n}, \tilde{q}\tilde{s}$
- $\tilde{v}\tilde{y}, \tilde{v}\tilde{m}, \tilde{v}\tilde{p}, \tilde{v}\tilde{w}, \tilde{v}\tilde{l}, \tilde{v}\tilde{x}, \tilde{v}\tilde{n}, \tilde{v}\tilde{s}$
- $\tilde{k}\tilde{m}, \tilde{k}\tilde{p}, \tilde{k}\tilde{w}, \tilde{k}\tilde{l}, \tilde{k}\tilde{x}, \tilde{k}\tilde{n}, \tilde{k}\tilde{s}$
- $\tilde{y}\tilde{p}, \tilde{y}\tilde{w}, \tilde{y}\tilde{l}, \tilde{y}\tilde{x}, \tilde{y}\tilde{n}, \tilde{y}\tilde{s}$
- $\tilde{m}\tilde{w}, \tilde{m}\tilde{l}, \tilde{m}\tilde{x}, \tilde{m}\tilde{n}, \tilde{m}\tilde{s}$
- $\tilde{p}\tilde{l}, \tilde{p}\tilde{x}, \tilde{p}\tilde{n}, \tilde{p}\tilde{s}$
- $\tilde{w}\tilde{x}, \tilde{w}\tilde{n}, \tilde{w}\tilde{s}$
- $\tilde{l}\tilde{n}, \tilde{l}\tilde{s}$
- $\tilde{x}\tilde{s}$

Сопоставляя соотношения Стенли-Райснера и мультиплекативные соотношения третьего типа в кольце когомологий по Килю, видим, что в идеале Стенли-Райснера их больше.

Выпишем соотношения, которые присутствуют только в идеале Стенли-Райснера.

$\tilde{u}\tilde{q}, \tilde{u}\tilde{k}, \tilde{u}\tilde{m}, \tilde{u}\tilde{x}, \tilde{t}\tilde{r}, \tilde{t}\tilde{k}, \tilde{t}\tilde{y}, \tilde{t}\tilde{n}, \tilde{o}\tilde{p}, \tilde{o}\tilde{w}, \tilde{r}\tilde{m}, \tilde{r}\tilde{l}, \tilde{r}\tilde{x}, \tilde{q}\tilde{y}, \tilde{q}\tilde{n}, \tilde{v}\tilde{m}, \tilde{v}\tilde{w}, \tilde{v}\tilde{n}, \tilde{k}\tilde{w}, \tilde{k}\tilde{x}, \tilde{y}\tilde{p}, \tilde{y}\tilde{l}, \tilde{m}\tilde{s}, \tilde{p}\tilde{x}, \tilde{p}\tilde{n}, \tilde{w}\tilde{s}, \tilde{l}\tilde{s}$

9.4 Соотношения второго типа

При умножении образующих вида $[ij|klmn]$ на образующие вида $[ijk|lmn]$, получаем следующую систему независимых соотношений

$$\begin{aligned}
 & n^2 + tn + qn - xn, n^2 + pn + vn, n^2 + pn + qn - sn \\
 & o^2 + qo + to - wo, o^2 + qo + po - ro, o^2 + po + to - uo \\
 & q^2 + nq + oq - lq, q^2 + yq + oq - vq, q^2 + nq + yq - uq \\
 & t^2 + ot + nt - kt, t^2 + ot + yt - st, t^2 + nt + yt - rt \\
 & p^2 + op + yp - xp, p^2 + op + np - mp, p^2 + np + yp - wp \\
 & y^2 + py + qy - ky, y^2 + py + ty - ly, y^2 + qy + ty - my \\
 & tr + or = lr + xr = mr + vr \\
 & ns + ts = ls + ws = ms + su \\
 & ou + qu = ku + xu = mu + su \\
 & qv + nv = kv + vw = mv + rv \\
 & ow + pw = kw + vw = lw + sw \\
 & nx + px = kx + ux = lx + rx \\
 & ql + yl = rl + xl = sl + wl \\
 & pm + ym = rm + vm = sm + um \\
 & tk + yk = uk + xk = vk + wk
 \end{aligned}$$

9.5 Гипотеза

Невозможность установить взаимно-однозначное соответствие между свободными образующими колец когомологий по Килю и по вееру служит хорошей предпосылкой к невозможности установить изоморфизм между соответствующими кольцами когомологий. Так же огромное количество результатов, не указанных в данной работе, дают основание предполагать, что $\overline{M_{0,6}}$ не является торическим многообразием. Однако, поиски строго доказательства данного утверждения пока продолжаются.

Список литературы

- [1] V. Buchstaber and T. Panov, “Toric topology,” Mathematical Surveys and Monographs, 204, American Mathematical Society, Providence, RI, 2015, 10 2012
- [2] Казарян М.Э., Ландо С.К., Прасолов В.В. Алгебраические кривые. По направлению к пространствам модулей, МЦНМО, 2019
- [3] В. М. Бухштабер, С. Терзич, Основания $(2n, k)$ - многообразий, Матем. сб., 2019, том 210, номер 4, 41–86